

Durchgängigkeit und Lebensraum am Kraftwerk Schärding-Neuhaus

Ergebnisse 2d-hydrnumerische Berechnungen Einstiegsbereich

Stand: 20.02.2024

Anlage 7-3

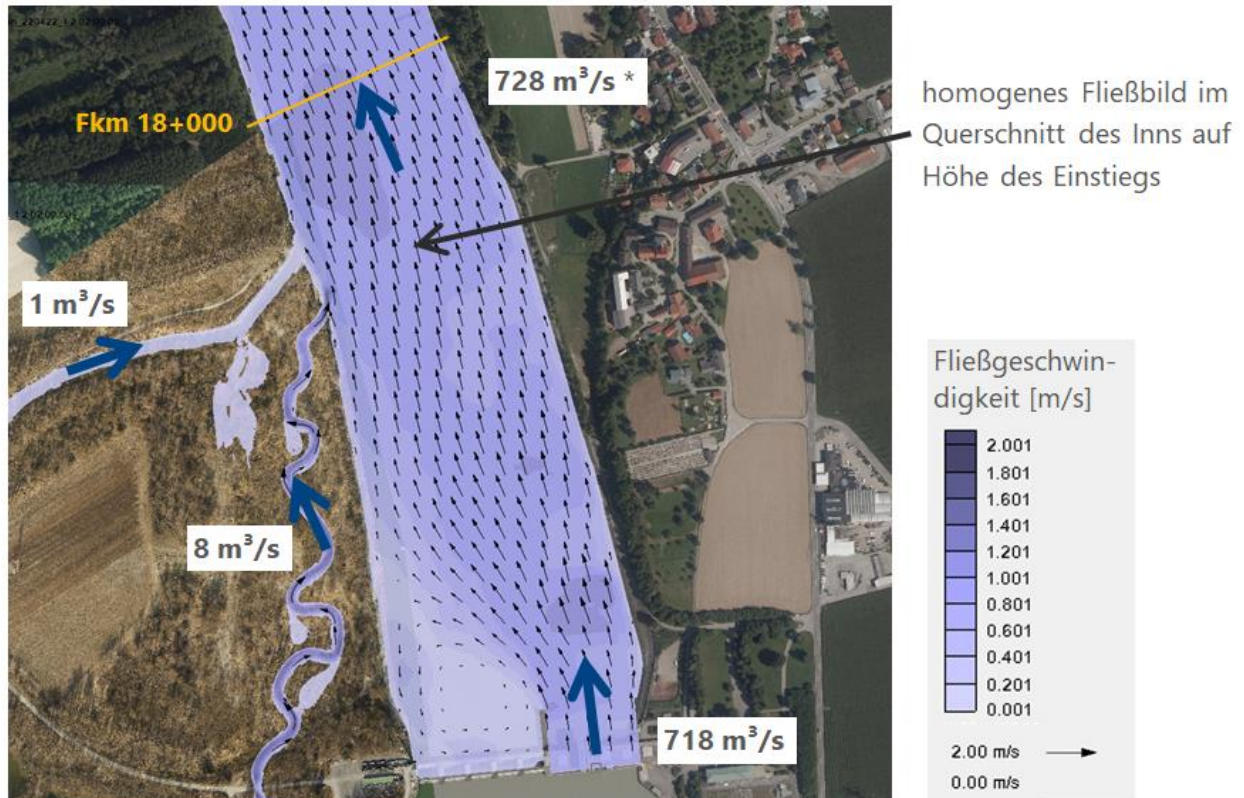
i.V. K. Kerner *Quint*

| | | | | | | | | | | | | | | | | | | | | | | | | | | | | | | |
|---|--|--|--|--|--|--|--|--|--|--|--|--|--|-------------------------------|--|--|--|--|--|--|--|--|--|--|--|--|--|-----------------|--|--|
| Fremdfirmen-Nr.: | | | | | | | | | | | | | | Aufstellungsort: | | | | | | | | | | | | | | Bl. von Bl. | | |
| Unterlagennummer | | | | | | | | | | | | | | + | | | | | | | | | | | | | | | | |
| SKS | | | | | | | | | | | | | | KKS | | | | | | | | | | | | | | DCC(UAS) | | |
| Projekt-Nr. | | | | | | | | | | | | | | Zähiteil | | | | | | | | | | | | | | | | |
| Ersteller | | | | | | | | | | | | | | Funktions-/Bauwerk | | | | | | | | | | | | | | Aggregat/Raum | | |
| Gliederungszeichen | | | | | | | | | | | | | | Gliederungszeichen | | | | | | | | | | | | | | Vorzeichen | | |
| Dokumenttyp | | | | | | | | | | | | | | Blattnummer | | | | | | | | | | | | | | | | |
| Nummer | | | | | | | | | | | | | | Änderungszeichen | | | | | | | | | | | | | | | | |
| Gliederungszeichen | | | | | | | | | | | | | | Änderungsindex | | | | | | | | | | | | | | | | |
| Gliederungszeichen | | | | | | | | | | | | | | Planstatus | | | | | | | | | | | | | | | | |
| Gliederungszeichen | | | | | | | | | | | | | | Planart | | | | | | | | | | | | | | | | |
| Vorzeichen | | | | | | | | | | | | | | Vorzeichen | | | | | | | | | | | | | | | | |
| S1 S2 S3 | | | | | | | | | | | | | | G F0 F1 F2 F3 FN A1 A2 AN | | | | | | | | | | | | | | A3 | | |
| * A A A A ~ A N N N N / A A A A A N / A N N N N N N / N N / A A A | | | | | | | | | | | | | | = G N N A A A N N A A N N N A | | | | | | | | | | | | | | & A A A A N N N | | |
| * G S D - A 0 0 5 ~ F W T O 1 ~ A 0 0 0 0 1 ~ 0 0 ~ - F E = 0 2 S H T | | | | | | | | | | | | | | | | | | | | | | | | | | | | & C A B 0 8 0 | | |

Ergebnisse 2d-Numerik, Einstiegsbereich

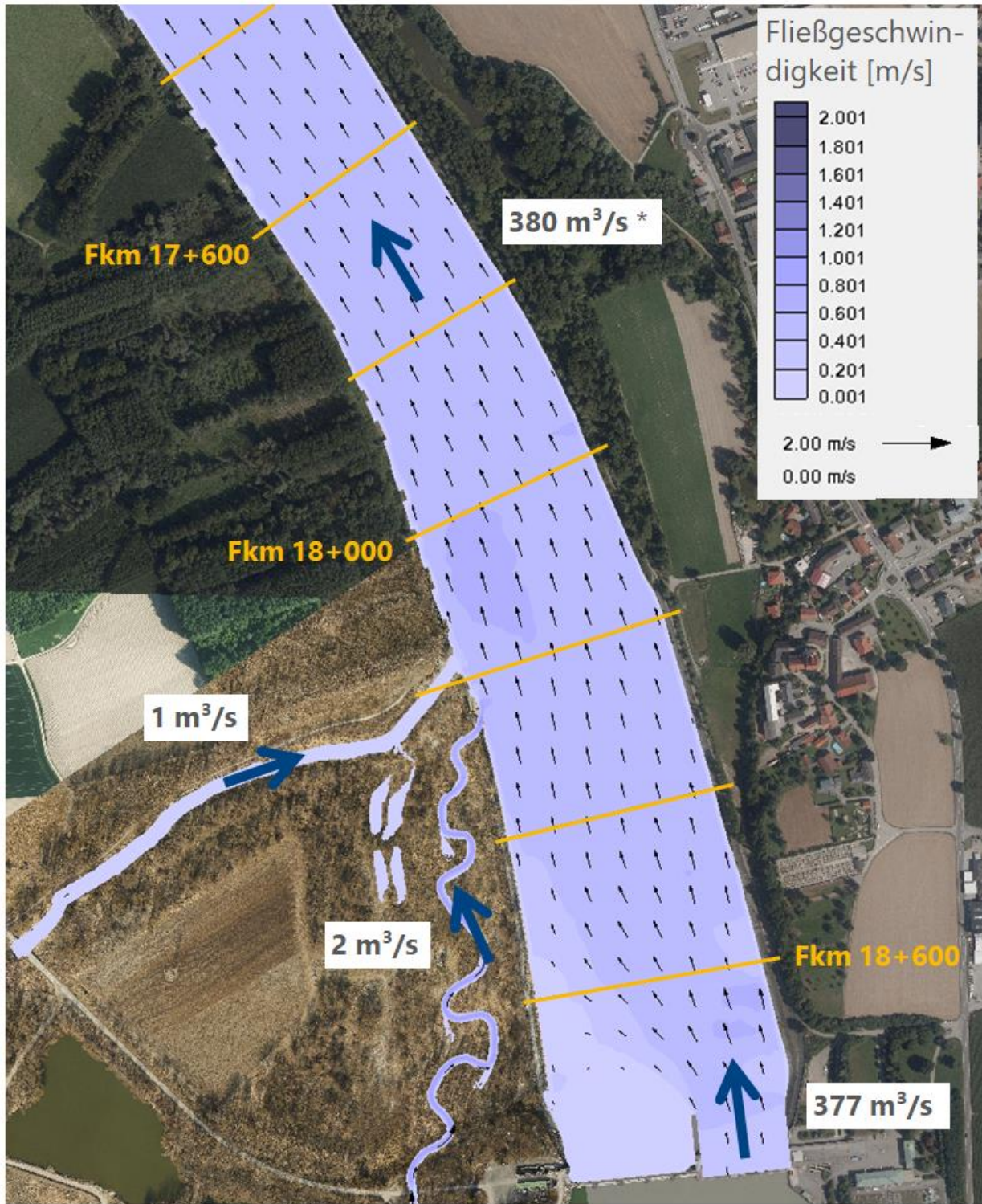
Analyse des Einstiegsbereich in Hinblick auf die Auffindbarkeit mittels 2d-hydrnumerischer Berechnungen.

MQ Inn (727 m³/s) mit Q_{OWH} = 8 m³/s (Berechnung Plan, Nr. 3)



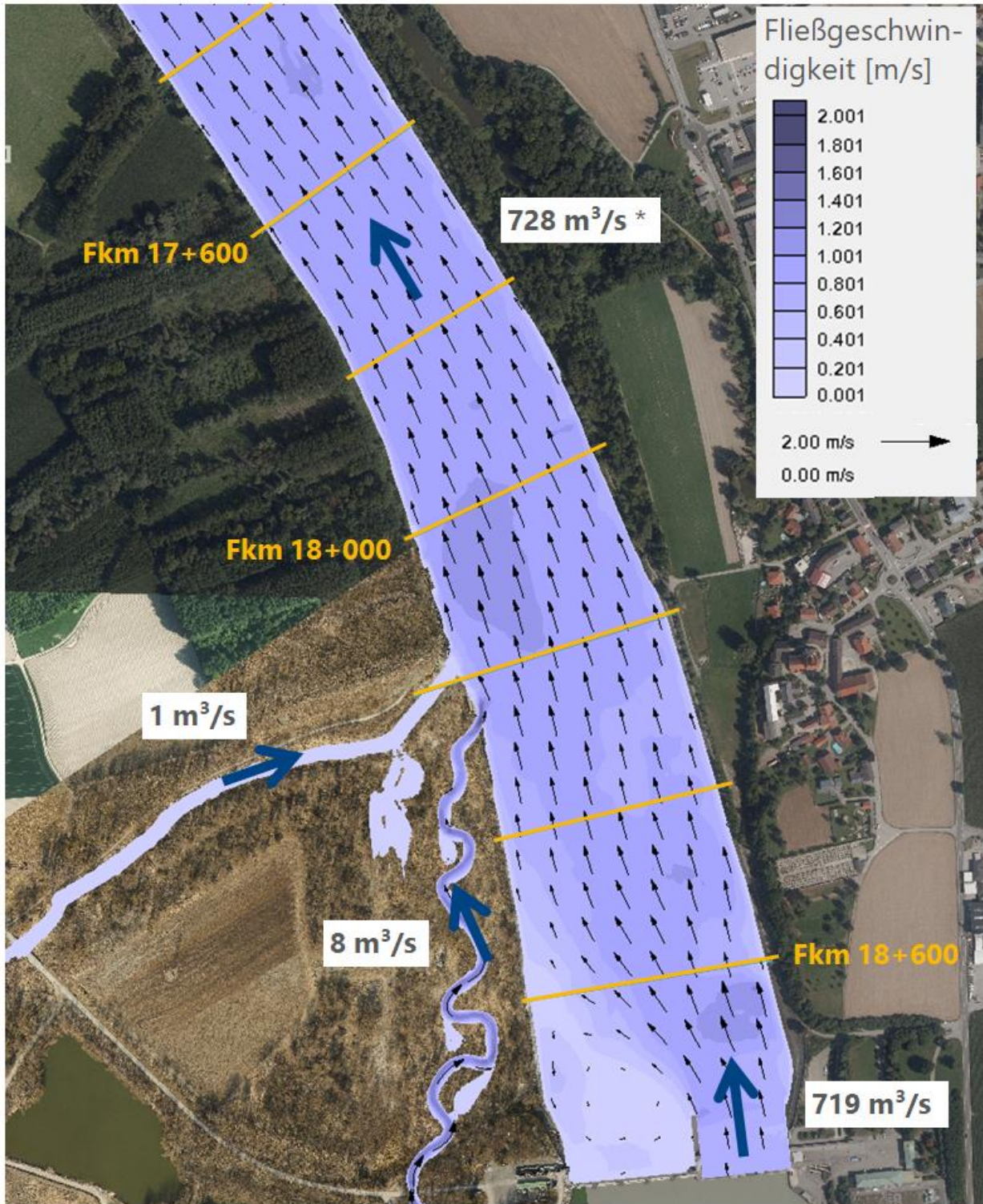
* Abfluss setzt sich zusammen aus MQ Inn gemessen am KW und Zufluss Kösslarner Bach

Übersicht - Q_{30} Inn ($379 \text{ m}^3/\text{s}$) mit $Q_{OWH} = 2 \text{ m}^3/\text{s}$ (Berechnung Plan, Nr. 3)



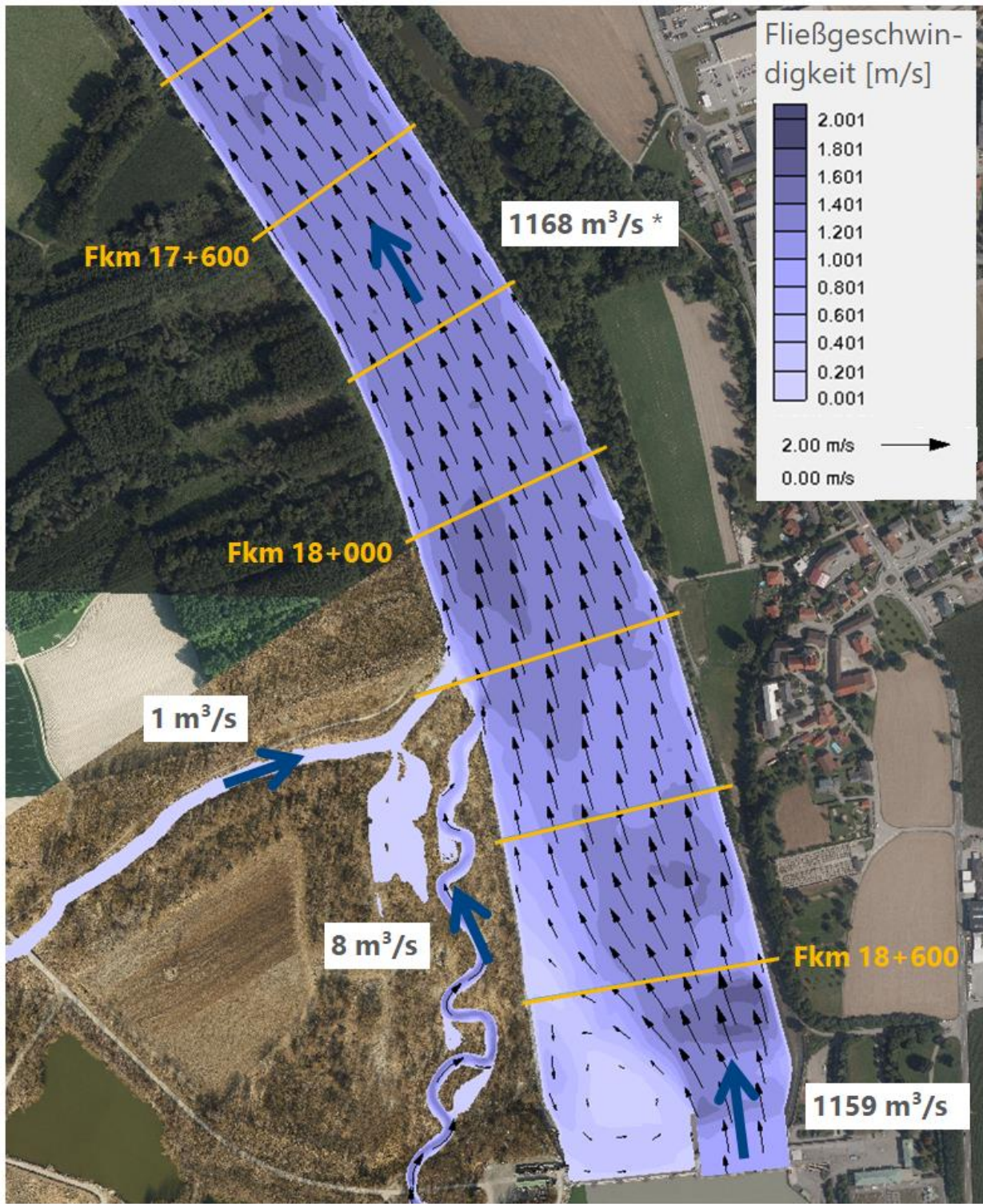
* Abfluss setzt sich zusammen aus Q_{30} Inn gemessen am KW und Zufluss Kösslarner Bach

Übersicht - MQ Inn (727 m³/s) mit Q_{OWH} = 8 m³/s (Berechnung Plan, Nr. 3)



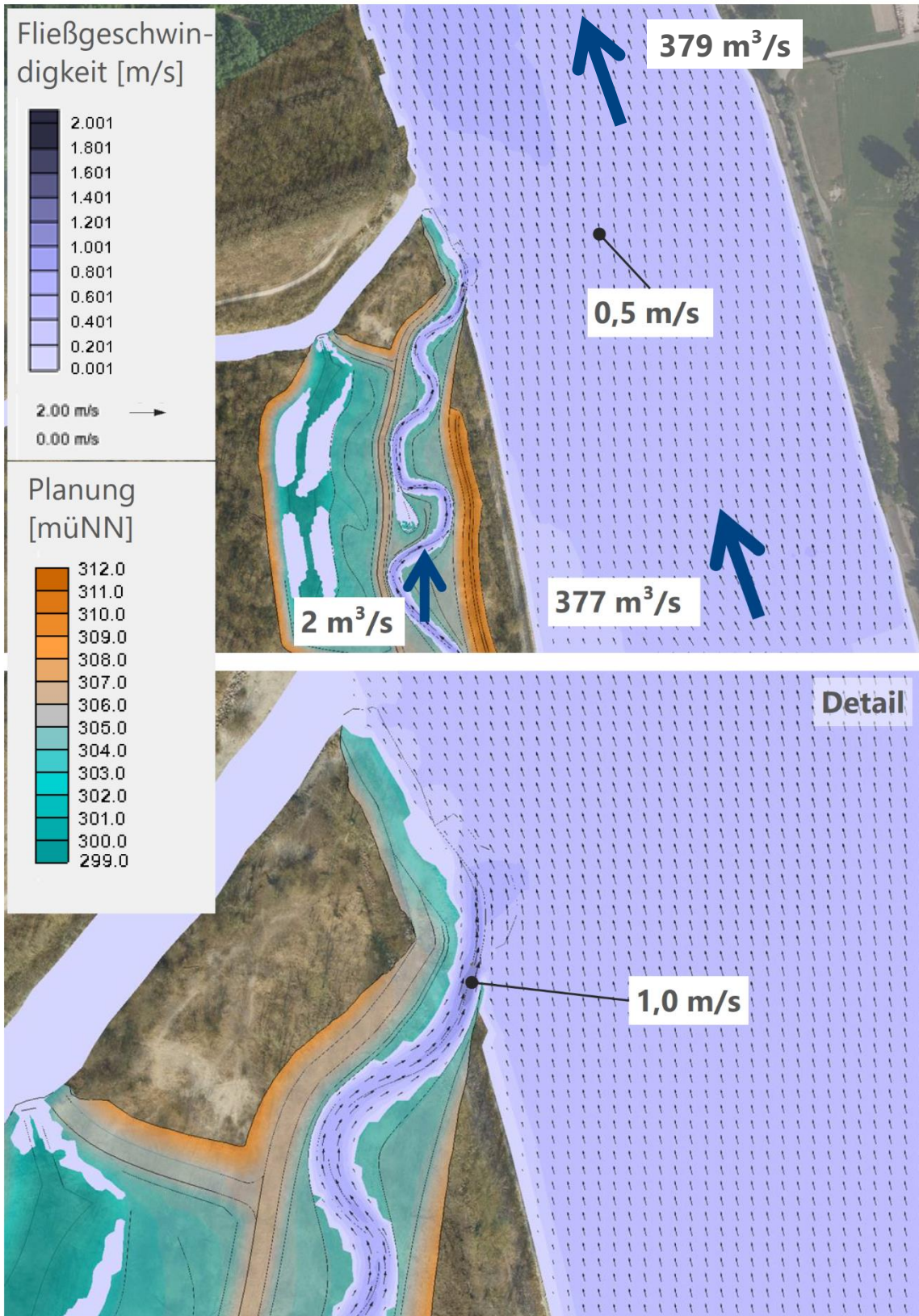
* Abfluss setzt sich zusammen aus MQ Inn gemessen am KW und Zufluss Kösslarner Bach

Übersicht - Q_{330} Inn ($1167 \text{ m}^3/\text{s}$) mit $Q_{\text{OWH}} = 8 \text{ m}^3/\text{s}$ (Berechnung Plan, Nr. 3)

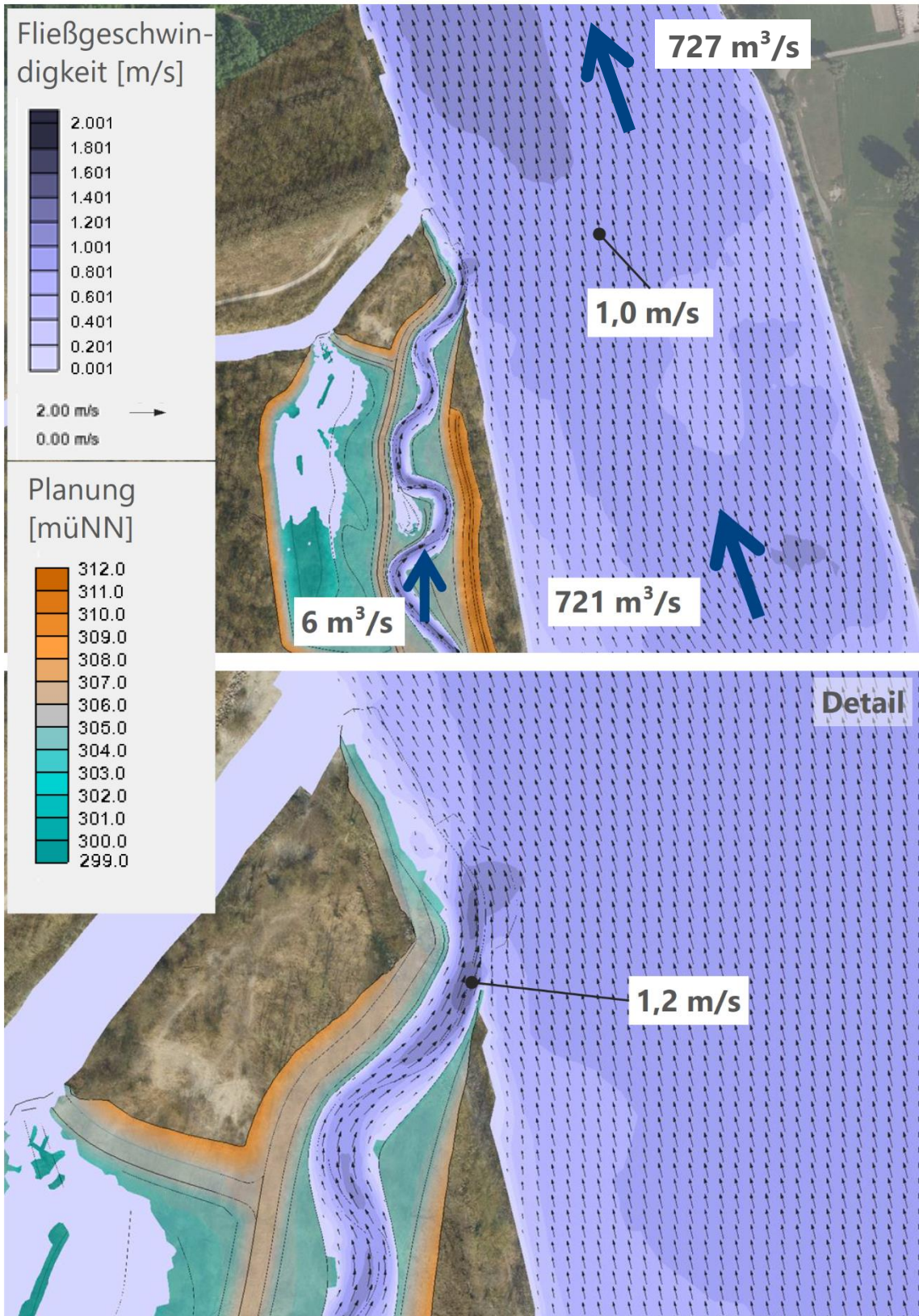


* Abfluss setzt sich zusammen aus Q_{330} Inn gemessen am KW und Zufluss Kösslarner Bach

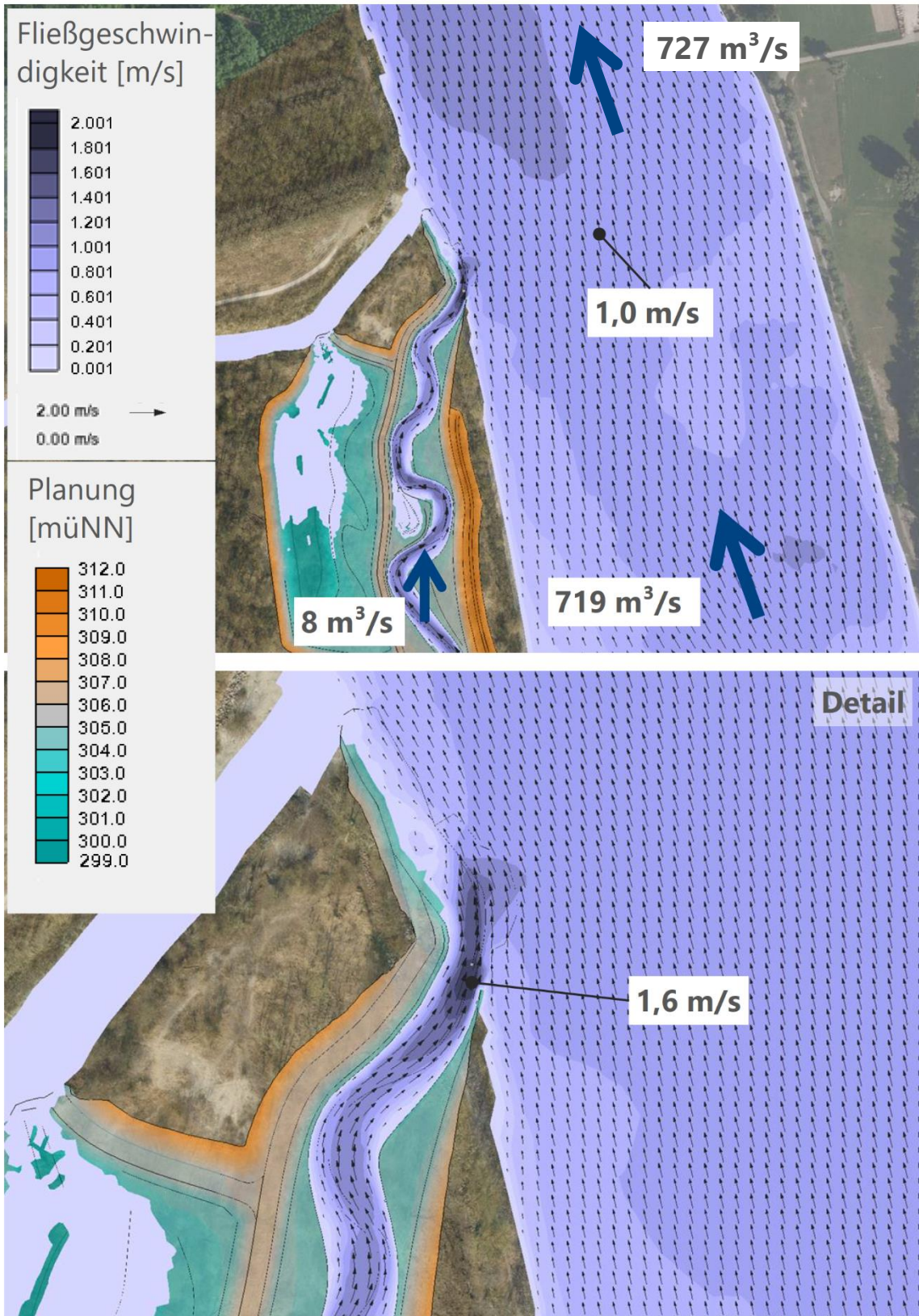
Einstiegsbereich - Q_{30} Inn ($379 \text{ m}^3/\text{s}$) mit $Q_{\text{OWH}} = 2 \text{ m}^3/\text{s}$ (Berechnung Plan, Nr. 1)



Einstiegsbereich - MQ Inn (727 m³/s) mit Q_{owh} = 6 m³/s (Berechnung Plan, Nr. 2)



Einstiegsbereich - MQ Inn (727 m³/s) mit Q_{OWH} = 8 m³/s (Berechnung Plan, Nr. 3)



Einstiegsbereich - Q_{330} Inn ($1167 \text{ m}^3/\text{s}$) mit $Q_{\text{OWH}} = 8 \text{ m}^3/\text{s}$ (Berechnung Plan, Nr. 4)

